

# 水油两相体系生物还原-化学沉淀耦合反应制备纳米二硫化锡

马兴泰 辛宝平\* 吴 莹 陈 岗 吴 锋 陈 实\*

(北京理工大学化工与环境学院北京市环境科学工程重点实验室, 北京 100081)

**摘要:** 针对  $\text{Sn}^{4+}$  易于水解而难以在水相稳定存在的不利条件, 尝试了在水油两相体系中应用生物转化-化学沉淀耦合反应工艺制备  $\text{SnS}_2$  纳米材料。研究了水油两相体系制备  $\text{SnS}_2$  的优化条件, 并借助 XRD、SEM、EDS 表征了制备材料的结构、形貌和物相。研究表明, 生物水相 pH 值 7、水油两相反应温度 35 ℃, 油相  $\text{Sn}^{4+}$  与水相  $\text{SO}_4^{2-}$  之物质的量浓度比 1:2 的条件下有利于  $\text{SnS}_2$  的生成。制备的  $\text{SnS}_2$  为纳米片花瓣, 纳米片平均厚度约为 30 nm, 花状微晶直径约 1~5  $\mu\text{m}$ , 纯度高, 无杂质。

**关键词:**  $\text{SnS}_2$ ; 水油两相体系; 生物还原; 纳米微粒

中图分类号: O614.43<sup>+2</sup> 文献标识码: A 文章编号: 1001-4861(2011)04-0687-05

## Preparation of Nano Sized $\text{SnS}_2$ by Coupling Reaction of Biological Reduction and Chemical Precipitation in Water-Oil Two-Phase System

MA Xing-Tai XIN Bao-Ping\* WU Ying CHEN Gang WU Feng CHEN Shi\*

(Beijing Key Laboratory of Environmental Science and Engineering, School of Chemical Engineering and Environment, Beijing Institute of Technology, Beijing 100081, China)

**Abstract:** In order to avoid from the hydrolysis of  $\text{Sn}^{4+}$  in water phase in the synthesis of  $\text{SnS}_2$ , the water-oil two-phase system was used to prepare the nano  $\text{SnS}_2$  by the Coupling Reaction of Biological Reduction and Chemical Precipitation (CRBRCP) process. The optimum conditions for preparation of  $\text{SnS}_2$  were studied, and the product was characterized by XRD, SEM, EDS. The results show that pH value of 7.0 for medium solution, 35 ℃ of culture temperature and molar ratio of 1:2 between  $\text{Sn}^{4+}$  in oil phase and  $\text{SO}_4^{2-}$  in medium were beneficial for  $\text{SnS}_2$  preparation. The prepared  $\text{SnS}_2$  using the water-oil two-phase system was petal shaped particles with diameter of 1~5  $\mu\text{m}$  composed of nano-sheets with a thickness of about 30 nm.

**Key words:**  $\text{SnS}_2$ ; nano particles; biological reduction; water-oil two-phase system

金属硫化物是无机材料家族中的重要门类, 在化学化工、国防军工、电子工业、石油工业、环境监测等领域都发挥着不可替代的作用<sup>[1]</sup>。二硫化锡 ( $\text{SnS}_2$ ) 是一种 n 型半导体材料, 具有层状六方  $\text{CdI}_2$  晶体结构<sup>[2]</sup>, 宽带能隙约为 2.35 eV<sup>[3]</sup>; 较宽的带隙使之具有良好的光学和电学特性<sup>[4-6]</sup>, 可用作全息记录及电转换系统材料<sup>[7-8]</sup>、太阳能电池材料<sup>[9]</sup>和锂离子电池的阳极材料等<sup>[10-11]</sup>。

$\text{SnS}_2$  的广泛应用及其纳米材料的优良性能引

起了人们的普遍关注。近年来, 国内外研究者开发了很多纳米  $\text{SnS}_2$  的制备方法, 如化学气相传送法(CVT)和物理气相传送法(PVT)<sup>[12-14]</sup>, 化学气相沉积法<sup>[15-16]</sup>, 电化学沉积法<sup>[17]</sup>, 分子束取向附生法(MBE)<sup>[18]</sup>, 喷雾高温分解法<sup>[19-20]</sup>, 溶剂热法<sup>[21]</sup>, 固态反应法<sup>[22]</sup>, 机械化学法<sup>[23]</sup>, 元素直接反应法<sup>[24]</sup>等。这些方法有的涉及高温高压的制备条件, 有的制备过程相当繁琐, 有时还要用到有毒气体  $\text{H}_2\text{S}$ 。

生物还原-化学沉淀耦合反应工艺(CRBRCP),

收稿日期: 2010-11-15。收修改稿日期: 2011-01-10。

国家基础研究发展计划(No.2009CB220106)资助项目。

\*通讯联系人。E-mail:xinbaoping@bit.edu.cn,csbit@bit.edu.cn

即将金属离子溶于生物培养液水相之中,生物还原产生的  $S^{2-}$ 与金属离子发生耦合沉淀反应生成不同类型的纳米硫化物。笔者运用该工艺已在常温常压条件下成功制备了硫化锌、硫化镉和硫化铅纳米颗粒<sup>[25-26]</sup>。 $Sn^{4+}$ 离子在水相中极易水解的特性给CRBRCP工艺制备纳米  $SnS_2$  带来极大困难。本研究尝试在水油两相体系应用CRBRCP工艺制备纳米  $SnS_2$  获得成功。

将溶有  $Sn^{4+}$ 的四氯化碳(油相)与溶有  $SO_4^{2-}$ 的生物还原培养液(水相)分层置于同一反应器中,水相生物还原生成的  $S^{2-}$ 与油相中  $Sn^{4+}$ 在两相界面发生耦合沉淀反应,得以制备纳米  $SnS_2$ 。本文研究确立了两相体系耦合制备纳米  $SnS_2$  的优化条件,表征了生成物质的结构和形貌,初步探讨了纳米  $SnS_2$  的生成机理。

## 1 实验部分

### 1.1 试 剂

氯化锡( $SnCl_4 \cdot 5H_2O$ )、四氯化碳及其它生化试剂乳酸、酵母粉、 $NH_4Cl$ 、 $Na_2SO_4$ 、 $MgSO_4$ 、 $KH_2PO_4$ 、 $CaCl_2$ 均为分析纯(购自北京化学试剂公司),所有用水均为去离子水。

### 1.2 实验装置

实验装置为 500 mL 具塞锥形玻璃瓶,如图 1 所示胶塞通过硬质玻璃管与一密封气球相连,以防止厌氧反应可能生成的气体造成锥形瓶破裂。

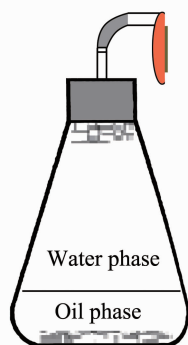


图 1 生物还原-化学沉淀耦合反应实验装置示意图

Fig.1 Set-up of coupling reaction for biological reduction and chemical precipitation

### 1.3 SRB 的富集和培养

硫酸盐还原菌(sulfate reducing bacteria, SRB)富集培养基组成: 乳酸, 0.1 mol;  $Na_2SO_4$ , 0.1 mol;  $NH_4Cl$ , 1 g;  $KH_2PO_4$ , 0.5 g;  $MgSO_4$ , 0.5 g;  $CaCl_2$ , 0.1 g; 酵母粉, 0.5 g; 去离子水, 1000 mL; pH 值 7.0。取 5 g

采自北京市高碑店污水处理厂消化池厌氧污泥移入装满 SRB 富集培养液的反应装置中, 置于 35 °C 恒温箱静止培养。每天手摇 3 次, 每 10 d 用注射器取出 150 mL 上层液接入新鲜培养液中。随着转接次数增加, SRB 得以不断富集。经 40 d 富集培养后, 每 10 d 取 50 mL 上层液接入 500 mL 新鲜培养液之中, 作为 SRB 的日常保存和种子菌悬液使用。

### 1.4 纳米 $SnS_2$ 的水油两相体系制备

$S^{2-}$ 生成培养基组成: 乳酸, 0.1 mol;  $Na_2SO_4$ , 0.1 mol;  $NH_4Cl$ , 1 g;  $KH_2PO_4$ , 0.5 g;  $MgSO_4$ , 0.5 g;  $CaCl_2$ , 0.1 g; 酵母粉, 0.5 g; 去离子水, 1000 mL; pH 值 7.0。分别配制  $S^{2-}$ 生成培养基(水相)和溶有 0.025 mol·L<sup>-1</sup> 四氯化锡的四氯化碳液(油相), 将 150 mL 油相和 325 mL 水相先后移入容积为 500 mL 的同一锥形瓶中, 操作水相时贴壁缓慢加入以免扰动下层油相。随后向上层水相迅速接入 25 mL 已培养 10 d 的 SRB 种子培养液(浊度约为 150 NTU), 盖塞密封后恒温培养。调节培养液 pH 值分别为 5.0, 7.0 和 9.0, 考察体系 pH 变化对  $SO_4^{2-}$ 还原和  $SnS_2$  生成的影响; 将水油两相体系分置于 25 °C, 35 °C 和 45 °C, 考察培养温度变化对  $SO_4^{2-}$ 还原和  $SnS_2$  生成的影响; 改变油相  $Sn^{4+}$ 浓度分别为 0.0125, 0.025 和 0.05 mol·L<sup>-1</sup>, 考察体系  $Sn^{4+}$ 与  $SO_4^{2-}$ 物质的量浓度比对  $SO_4^{2-}$ 还原和  $SnS_2$  生成的影响。所有实验均做 3 次平行。

随着瓶内厌氧生物还原反应的进行, 上层水相培养液中  $SO_4^{2-}$ 残留浓度不断下降; 两相界面处黄色的  $SnS_2$  沉淀逐渐生成并沉积于锥形瓶底部, 定期取上层水样测定体系的  $SO_4^{2-}$ 残留浓度。21 d 后耦合反应趋于完成, 离心收集瓶底黄色沉淀(2000 r·min<sup>-1</sup>, 20 min)。用四氯化碳和去离子水先后洗涤 5 次后, 100 °C 真空干燥, 收集干燥样品进行结构、组成和形貌分析。

### 1.5 反应过程和反应产物的测定和表征

用美国戴安公司 ICS-1500 型离子色谱仪测定培养液  $SO_4^{2-}$ 残留浓度并计算  $SO_4^{2-}$ 还原转化率。用 Shimadzu XD-D1 型粉末 X-射线衍射仪 ( $Cu K\alpha$ ,  $\lambda=0.15418 \text{ nm}$ , 40 kV, 40 mA, 扫描范围  $2\theta=20^\circ \sim 100^\circ$ , 扫描速率  $8^\circ \cdot \text{min}^{-1}$ ) 进行产物的物相分析(XRD 分析)。用 X 射线能谱仪(Hitachi S-4800, 20 kV, Japan)进行产物的组分分析(EDS 分析)。用场发射扫描电子显微镜(Hitachi S-4800, 20 kV, Japan)进行产物的形态形貌分析(SEM 分析)。

## 2 结果与讨论

### 2.1 水油两相体系制备 $\text{SnS}_2$ 的优化条件研究

在 CRBRCP 的硫化物耦合制备体系中,  $\text{SO}_4^{2-}$  一旦经生物还原生成  $\text{S}^{2-}$ , 后者即迅速与沉淀离子发生反应形成纳米硫化物。由于硫化物沉淀的溶度积通常非常小, 可以认为所有的  $\text{S}^{2-}$  都转化为目标产物, 因此水相培养液中  $\text{SO}_4^{2-}$  的还原转化率能够反映产物收率。通过考察培养温度、培养液 pH 值以及体系  $\text{Sn}^{4+}$  与  $\text{SO}_4^{2-}$  浓度比对  $\text{SO}_4^{2-}$  还原转化率的影响, 确立水油两相体系制备  $\text{SnS}_2$  的优化条件。

两相耦合制备体系不同温度下  $\text{SO}_4^{2-}$  的还原转化率随培养时间的变化列于图 2。由图可见, 35 ℃ 培养温度下  $\text{SO}_4^{2-}$  具有最大还原转化率, 21 day 后达 24.2%; 温度过高过低都导致  $\text{SO}_4^{2-}$  的转化率下降。这是由于 SRB 菌的最适生长温度为 30~37 ℃, 在此温度下 SRB 菌的活性最大, 故  $\text{SO}_4^{2-}$  的还原转化效率最高。

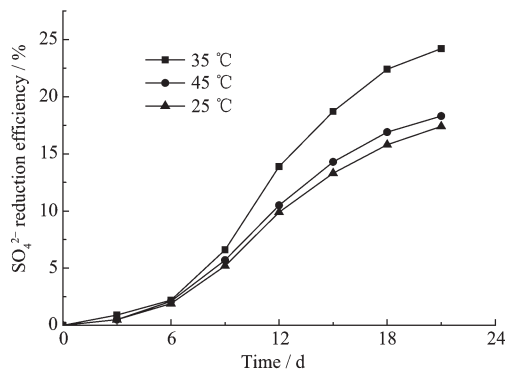


图 2 两相耦合制备体系培养温度对  $\text{SO}_4^{2-}$  还原转化的影响

Fig.2 Influence of culture temperature on  $\text{SO}_4^{2-}$  biotransformation into  $\text{S}^{2-}$  and production of  $\text{SnS}_2$  in water-oil CRBRCP process

与培养温度的影响模式相似, 在 pH=7.0 的中性条件下  $\text{SO}_4^{2-}$  表现出最大的还原转化率, 过酸过碱  $\text{SO}_4^{2-}$  还原率都呈下降之势, 酸性条件尤甚(图 3)。从菌的生长情况来看, 过酸过碱确实导致上层培养液的浊度降低, 菌数减少。虽然 SRB 能够在 pH 值 4.5~9.5 范围内生存, 但其最适 pH 值为 6.5~7.5。在 pH 值中性条件下, SRB 菌活性最强,  $\text{SO}_4^{2-}$  还原率也最高。

两相耦合制备体系  $\text{Sn}^{4+}$  和  $\text{SO}_4^{2-}$  之不同物质的量浓度比条件下,  $\text{SO}_4^{2-}$  的还原转化率随培养时间的变化列于图 4。由图可知, 油相  $\text{Sn}^{4+}$  浓度的增加显著

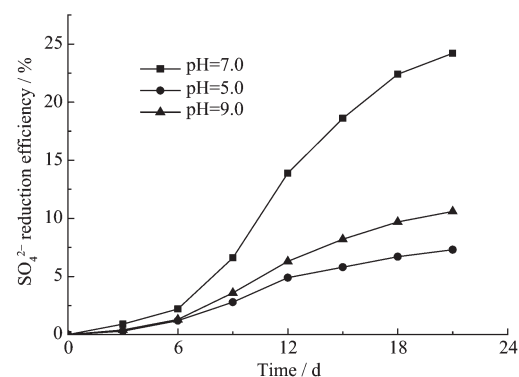


图 3 两相耦合制备体系起始 pH 值对  $\text{SO}_4^{2-}$  还原转化的影响

Fig.3 Influence of pH value on  $\text{SO}_4^{2-}$  biotransformation into  $\text{S}^{2-}$  and production of  $\text{SnS}_2$  in water-oil CRBRCP process

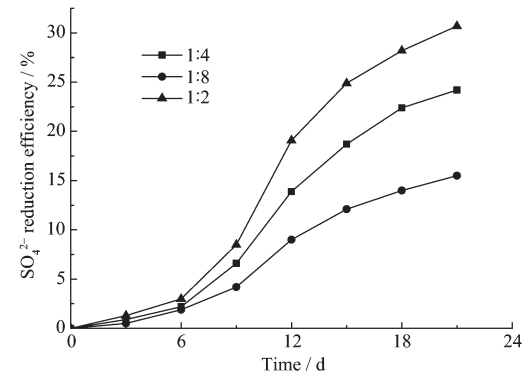


图 4 两相耦合制备体系  $\text{Sn}^{4+}$  和  $\text{SO}_4^{2-}$  浓度比对  $\text{SO}_4^{2-}$  还原转化的影响

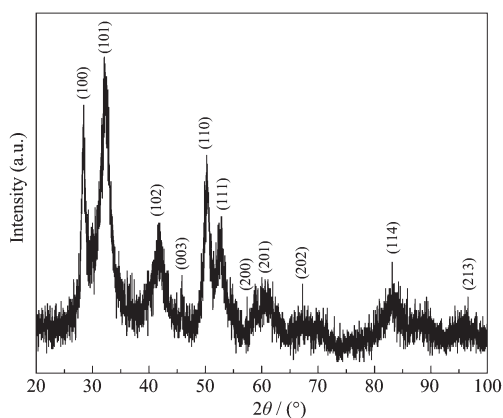
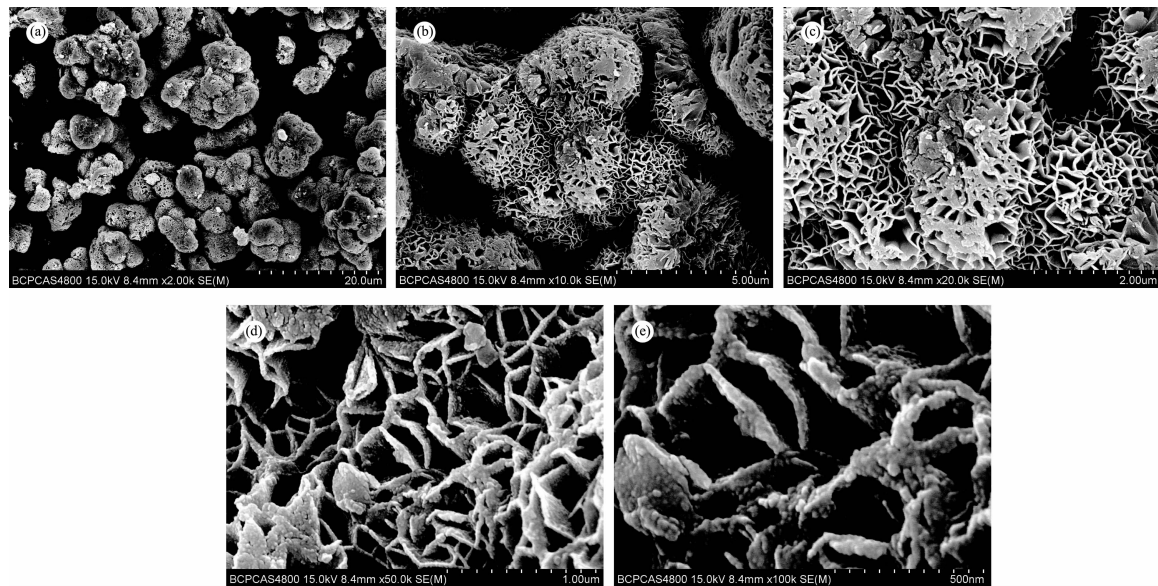
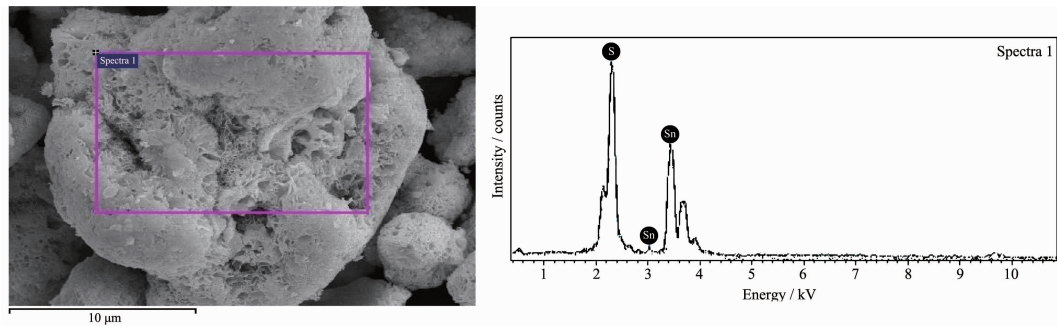
Fig.4 Influence of molar rate between  $\text{Sn}^{4+}$  and  $\text{SO}_4^{2-}$  on  $\text{SO}_4^{2-}$  biotransformation into  $\text{S}^{2-}$  and production of  $\text{SnS}_2$  in water-oil CRBRCP process

促进了水相  $\text{SO}_4^{2-}$  的还原转化。当  $\text{Sn}^{4+}$  和  $\text{SO}_4^{2-}$  物质的量浓度比由 1:8 提高至 1:2 时,  $\text{SO}_4^{2-}$  还原率由 24.2% 升至 30.7%。可以推断  $\text{Sn}^{4+}$  的浓度增加促进了  $\text{S}^{2-}$  的消耗和  $\text{SnS}_2$  的生成, 进而促进了  $\text{SO}_4^{2-}$  的还原转化。

### 2.2 两相体系生成 $\text{SnS}_2$ 的物相、形貌和组成分析

图 5 给出两相体系合成产物的 XRD 图。图中所有衍射峰与 XRD 标准 PDF 卡片(23-677)一致, 显示收获产物为纯相六方结构晶体  $\text{SnS}_2$ 。根据晶胞参数公式计算, 晶胞参数为  $a=0.3642 \text{ nm}$  和  $c=0.5896 \text{ nm}$ , 与卡片给出的标准数据也基本一致。图中没有出现其他杂相峰, 表明产物不含杂质, 纯度很高。

从图 6(a)和 6(b)可以看出产物呈现花状微晶结构, 直径 1~5  $\mu\text{m}$ , 花状微晶相互吸引聚集成更大直径的不规则颗粒, 花状微晶则由  $\text{SnS}_2$  纳米片自组装

图 5 两相体系生成  $\text{SnS}_2$  的 XRD 图Fig.5 XRD patterns of  $\text{SnS}_2$  by two-phase CRBRCP process图 6 两相体系生成  $\text{SnS}_2$  的 SEM 图Fig.6 SEM images of  $\text{SnS}_2$  by two-phase CRBRCP process图 7 两相体系生成  $\text{SnS}_2$  的 EDS 谱图Fig.7 EDS spectrum of  $\text{SnS}_2$  by two-phase CRBRCP process

### 2.3 生长机理初探

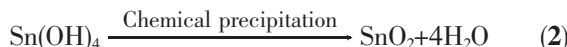
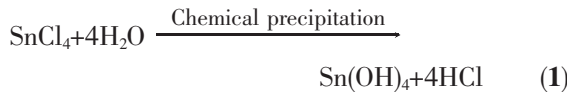
本文应用简单的水油两相耦合反应体系制得纯物相  $\text{SnS}_2$ , 引入油相的原因是由于  $\text{SnS}_2$  的前体物

生长而成。图 6(c)显示  $\text{SnS}_2$  花状微晶是由平均厚度为 30 nm 的纳米薄片组成。纳米薄片之间相互连接、缠绕和交叠, 形成具有不规则孔洞的网状结构。由于具有很高的表面活性, 在范德华力等作用下  $\text{SnS}_2$  纳米花瓣相互吸引、聚集, 形成不规则颗粒。图 6(d)和 6(e)显示了  $\text{SnS}_2$  纳米花瓣的局部放大谱图, 可以清楚地看到  $\text{SnS}_2$  纳米薄片是由直径更小的  $\text{SnS}_2$  颗粒相叠而成, 而纳米薄片的厚度也相对均匀。

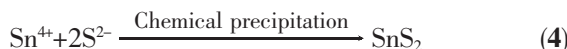
图 7 为收获产物的 EDS 谱图。由图可见, 沉淀物质由 Sn 和 S 两种元素组成; 而且 Sn 和 S 的原子数之比为 1:2, 表明其化学组成为  $\text{SnS}_2$ , 没有杂质, 纯度高。

质四氯化锡( $\text{SnCl}_4 \cdot 5\text{H}_2\text{O}$ )在水中极易水解, 导致非目标沉淀物氢氧化锡和二氧化锡的形成和培养液的酸化, 并最终导致菌生长受损和  $\text{SnS}_2$  制备失败, 水

解反应方程式如下:



水相是生物培养基,借助SRB还原作用将 $\text{SO}_4^{2-}$ 转化为 $\text{S}^{2-}$ ;油相的引入和四氯化锡的溶解,成功避免了四氯化锡的水相转移和水解,而且可以缓慢地释放 $\text{Sn}^{4+}$ 并在水油两相界面与水相生成的 $\text{S}^{2-}$ 发生耦合沉淀反应,目标产物沉积于油相底部。整个反应过程简单高效,反应方程式如下:



花状 $\text{SnS}_2$ 的形貌控制主要取决于两个因素:一是 $\text{SnS}_2$ 内部的晶体结构;二是所选择的外部实验条件。六方密堆积的 $\text{SnS}_2$ 是一种层状晶体<sup>[2]</sup>,本身具有很强的形成二维结构的倾向,易于生成片状结构。合适的界面条件有利于二维层状 $\text{SnS}_2$ 晶体的成核和取向聚集生长,四氯化碳之适宜粘度有利于获得独特的形貌结构。前人研究表明,四氯化碳体系可以对纳米晶体的成核和聚集生长进行有效的控制,从而获得形貌独特、尺寸可控的三维复合结构<sup>[27-28]</sup>。

在水油两相耦合反应体系中,水相生成的 $\text{S}^{2-}$ 与油相释放的 $\text{Sn}^{4+}$ 在界面处结合形成 $\text{SnS}_2$ 晶核。受晶体内部结构的控制,目标产物沿着晶核的二维方向扩张,不断长大形成片状纳米微晶。由于新生成的纳米薄片的表面和顶角存在大量悬键,具有很高的化学活性,故相互聚集。随着反应速率的增大,纳米薄片之间的碰撞几率增大,受水油界面特殊性能的影响,沿着特殊的晶格面取向生长,最终自组装形成三维的花状结构。

## 参考文献:

- [1] LUAN Rui(栾蕊), HAN En-Shan(韩恩山). *Chemical World (Huaxue Shijie)*, 2002, 43(2):105-108
- [2] Jiang T, Ozin G A. *J. Mater. Chem.*, 1998, 8(5):1099-1108
- [3] Lokhande C D. *J. Phys. D: Appl. Phys.*, 1990, 23(12):703-1705
- [4] Dubrovskii G B. *Phys. Solid State*, 1998, 40(9):1557-1562
- [5] Dubrovskii G B, Shelykh A I. *Phys. Solid State*, 1998, 40(8):1295-1296
- [6] Lifshitz E, Chen Z, Bykov L. *J. Phys. Chem.*, 1993, 97(1):238-242
- [7] Patil S G, Fredgold R H. *J. Phys. D: Appl. Phys.*, 1971, 4:718-722
- [8] Chu D, Walser R M, Bene R W, et al. *Appl. Phys. Lett.*, 1974, 24(10):479-481
- [9] Domingo G, Itoga R S, Kannewurf C R. *Phys. Rev.*, 1966, 143:536-541
- [10] Lefebvre-Devos I, Olinier-Fourcade J, Jumas J C, et al. *Phys. Rev. B*, 2000, 61(4):3110-3116
- [11] Momma T, Shiraishi N, Yoshizawa A, et al. *J. Power Sources*, 2001, 97-98:198-200
- [12] Greenway D L, Nitsche R. *J. Phys. Chem. Sol.*, 1965, 26(9):1445-1458
- [13] Whitehouse C R, Balchin A A. *J. Mater. Sci.*, 1979, 14(10):2516-2519
- [14] Nitsche R. *J. Phys. Chem. Sol.*, 1960, 17(1/2):163-165
- [15] Price L S, Parkin I P, Hibbert T G, et al. *Chem. Vap. Deposition*, 1998, 4(6):222-225
- [16] Shibata T, Miura T, Kishi T, et al. *J. Cryst. Growth*, 1990, 106(4):593-604
- [17] Ghazali A, Zainal Z, Hussein M Z, et al. *Sol. Energy Mater. Sol. Cells*, 1998, 55(3):237-249
- [18] Nebesny K W, Collins G E, Lee P A, et al. *Chem. Mater.*, 1991, 3(5):829-838
- [19] Reddy N K, Reddy K T R. *Proceedings of the 26th IEEE Photovoltaic Specialists Conference*. Anaheim, 1997:515-518
- [20] Ortiz A, Lopez S. *Semicond. Sci. Technol.*, 1994, 9(11):2130-2133
- [21] Hu H M, Yang B J, Zeng J H, et al. *Mater. Chem. Phys.*, 2004, 86(1):233-237
- [22] Parkin I P, Rowley A T. *Polyhedron*, 1993, 12(24):2961-2964
- [23] Balaz P, Ohtani T, Bastl Z, et al. *J. Solid State Chem.*, 1999, 144(1):1-7
- [24] Shaw G A, Parkin I P. *Main Group Met. Chem.*, 1996, 19(8):499-502
- [25] HUANG Qun(黄群), XIN Bao-Ping(辛宝平), CHEN Shi(陈实), et al. *Chinese J. Inorg. Chem. (Wuji Huaxue Xuebao)*, 2008, 24(6):880-885
- [26] XIN Bao-Ping(辛宝平), WEI Jun(魏军), GUO Lei(郭磊), et al. *Chinese J. Inorg. Chem. (Wuji Huaxue Xuebao)*, 2009, 25(5):774-780
- [27] YUAN Huan(袁寰), LIAN Yong-Fu(廉永福). *J. Jiamusi University Natural Science Ed. (Jiamusi Daxue Xuebao)*, 2007, 25(5):710-718
- [28] XIONG Yu-Hua(熊裕华), LI Feng-Yi(李凤仪). *J. Nanchang University Natural Science (Nanchang Daxue Xuebao)*, 2005, 29(1):70-73